

九州工業大学 正員 出光 隆

学生員 本山裕三

日本道路公団 正員 豊福俊泰

1. まえがき

PCT工法によつて橋梁架設を行なう場合、作業は右岸または左岸のいずれか一方から順次行なうためPCTには必ず偏分布荷重が作用することになる。その場合、ケーブルの張力、サゲの変化などはどう様に計算すれば良いであろうか。ここにその一方法を示し、同時に模型実験との比較も行なつてみる。

2. 理論式の誘導

PCT(図-3に示す)の全ての吊索には等しくアレテンションが導入されており、したがつて、上・下索には等分布荷重 g_1 が作用していゝまつと考へて良い。この時、ケーブルの形状は次式で表められる。

$$y_0 = 4f/l^2 \cdot (lx - x^2) \quad (1)$$

このPCTの左岸から数本の吊索に荷重が載荷された場合、これらの荷重は lk 間に等分布荷重 g_2 として作用し、 g_2 は図-1に示すように g_{2u} , g_{2l} に分れて、下索に分担される。この時ケーブルの形状は次式で表わされる。 $y_1 = g_1/2H \cdot x^2 + l/2H \cdot \{(1+k^2)g_1 - k^2g_2\}x + k^2l^2/2H \cdot (g_2 - g_1) \quad (2)$

$$(k^2 \leq x \leq lk), \quad y_2 = -g_2/2H \cdot x^2 + l/2H \cdot \{(1-k^2)g_1 + k(2-k)g_2\}x \quad (3) \quad (0 \leq x \leq lk)$$

ただし、 H : ケーブル張力の水平成分、 g_1 : 上索の場合 $g_1 + g_{2u}$ 、下索の場合 $g_1 - g_{2l}$

上式中の H は次のようにして求められる。いまアレストレス導入時の状態から g_1 を取りのぞけばケーブルは無応力状態となりその長さ L_0 は次式で求められる。 $L_0 = l(1 + \beta_3 \cdot n^2 - \frac{3}{5} \cdot n^4 + \dots) - 8 \cdot l^3 / g_{2u} \cdot (1 + \frac{16}{3} \cdot n^2) \quad (4)$ ただし、 $n = f/l$ 、 $\beta_3 = E_c A_c$ 、 E_c 、 A_c はケーブルの弾性係数および断面積。また、偏分布荷重作用時の状態から荷重およびアレストレスを取のぞけば無応力時のケーブルの長さ L_0 は次式で求められる。 $L_0 = l \left\{ 1 + \sum_{m=1}^{\infty} (-1)^{m+1} (\mu_m \phi_m + \nu_m \psi_m) / H^{2m} \right\} - H/g_{2l} \cdot i \left\{ 1 + 2(\mu_1 \phi_1 + \nu_1 \psi_1) / H^2 \right\} \quad (5)$

ただし、 $\mu_m = \eta_m (8 \cdot l/2)^{2m}$, $\nu_m = \eta_m (8l^2/2)^{2m}$, $\phi_m = K_1^{2m+1} - K_2^{2m+1}$, $\psi_m = K_3^{2m+1} + K_4^{2m+1}$, $K_1 = K_2 + 2(1-k)$, $K_2 = k^2 m - (1-k)^2$, $m = 8/n$, $k = M/N$, N : 全吊索本数, M : 載荷された吊索本数, η_m の値は表-1に示す。式(4)から L_0 を求め式(5)に代入し、 $n = 8 \neq 2^m$ となり計算すれば必要な有効数字が H , y_1 , y_2 がえられる。 g_{2u} および g_{2l} かられば以上のようにして上・下索に働く張力、サゲの変化を求めることができる。そのためには下索が分担する率即ち低減率 β' を求めれば良い。その式を次に示す。

$$\beta' = \frac{(\Delta y_u + \Delta e_u)/g_{2u}}{(\Delta y_u + \Delta e_u)/g_{2u} + (\Delta y_l + \Delta e_l)/g_{2l}} \times 100 \quad (6)$$

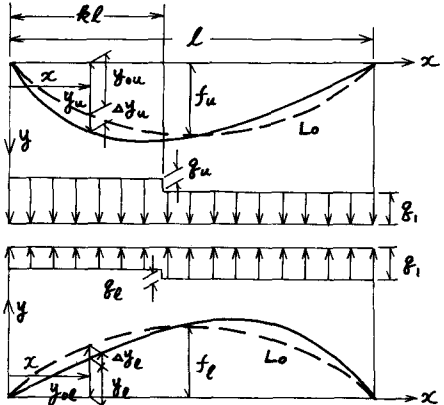


図-1

表-1

n	1	2	3	4	5	6	7	8
η_n	1/12	1/80	1/224	5/2304	7/5692	21/26624	33/61440	429/111412

ただし、 Δe_u ; g_u による各上吊索の伸びの平均値

$\Delta \bar{e}_e$; g_e による各下吊索の伸びの平均値

$\Delta \bar{y}_u$; g_u による上サグ変化量の平均値

$\Delta \bar{y}_e$; g_e による下サグ変化量の平均値

$$\Delta \bar{y}_u = \frac{1}{kL} \int_0^{kL} (y_u - y_{u0}) dx \quad (7)$$

$$\Delta \bar{y}_e = \frac{1}{kL} \int_0^{kL} (y_{e0} - y_e) dx \quad (8)$$

g_2 を種々変えた、それそれに応する $\Delta \bar{e}$, $\Delta \bar{y}$ を前述の式から求め $g_2 \sim (\Delta \bar{y} + \Delta \bar{e})$ 曲線を描けば例えば図-2 のようになる。同図において $g = g_u + g_e$ とし、 $g_1 + g_u$, $g_1 - g_e$ に対応する $(\Delta \bar{y}_u + \Delta \bar{e}_u)$, $(\Delta \bar{y}_e + \Delta \bar{e}_e)$ を読み式-6 から β' の値を求めよ。また、恒減率は下索の荷重の分担率であるから次式からも β' の値が求まる。 $\beta' = \frac{g_e}{g} \cdot 100$ (9) 両方から求めた β' の値が等しくなった時、その値が求めた恒減率となる。 β' の値が求めれば式(4), (5)から H, 式(2), (3)からサグの変化が容易に求められる。 $g_2 \sim (\Delta \bar{y} + \Delta \bar{e})$ 曲線をたる値を変えて描いておけば施工中のどんな状態においてもケーブルの張力、サグ変化がすぐに求められる。

3. 模型実験結果と理論計算結果との比較

模型実験はマンガニン線を用いて行った。吊索形状、寸法を図-3 に示す。マンガニン線のDC、および直徑はそれぞれ、上・下索用 1.01×10^5 (g), 0.10×10^4 (cm), 吊索用 3.64×10^4 (g), 0.60×10^{-2} (cm) である。プレストレス量は各吊索 19.8 g, 負荷量は 11.7 gとした。図-2 はそれらの値を用いて計算した $g_2 \sim (\Delta \bar{y} + \Delta \bar{e})$ 曲線である。また、同図を用いて計算した H の値を実験結果とともに図-3 に示す。

4. あとがき

図-4 に示すように理論値は定性的には実験値とよく一致し、ケーブル張力は荷重が全スパンに戴荷された場合より、スパンの 60%~70% 程度に偏分布戴荷されたとき最大となることがわかった。

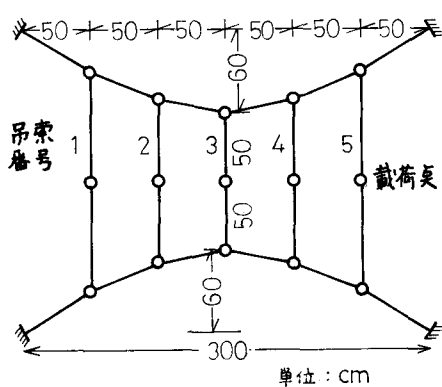


図-3 模型PC-T

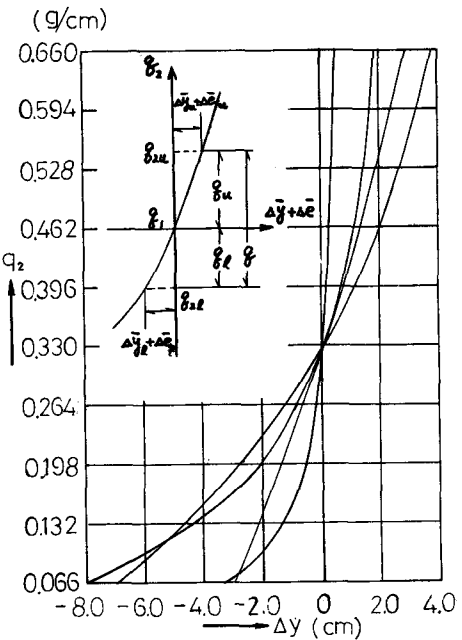


図-2 $\Delta y \sim g_2$ 図

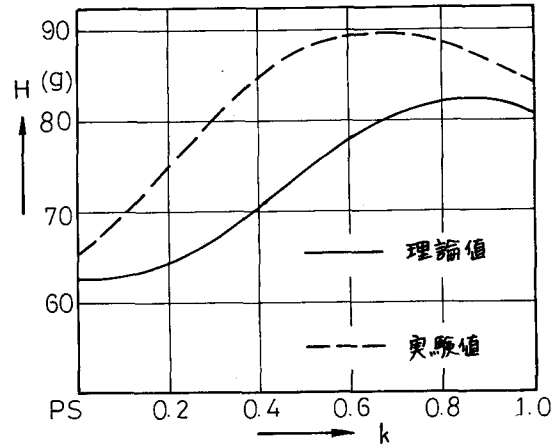


図-4